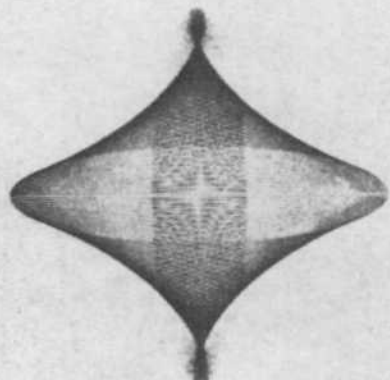


MAPA GEOLOGICO DE ESPAÑA
ESCALA 1:50.000

20692

**INFORMES COMPLEMENTARIOS
DE LA HOJA N° 25-27
CAMPILLO DE ALTOBUEY**



INTECSA

Internacional de Ingeniería y Estudios Técnicos, S.A.

DICIEMBRE, 1976

20692

INFORMES COMPLEMENTARIOS

- 1.- INTRODUCCION
- 2.- INFORME MACRO. Y MICROPALeONTOLOGICO
- 3.- INFORME SEDIMENTOLeOGICO
- 4.- INFORME PALEOGEOGRAFICO (HISTORIA SEDIMENTARIA)

Se exponen en los siguientes apartados los resultados de los estudios Sedimentológicos y Macro y Micropaleontológicos de las muestras, recogidas en la presente hoja, necesarios para la descripción del informe Paleogeográfico.

Los estudios de las muestras pertenecientes al Mesozoico han sido realizados por CABANAS LOZANO, I y URALDE LOPEZ M.A. (FINA IBERICA) y los correspondientes al Terciario por GRANADOS GRANADOS, L (ENADIMSA). Todas las muestras de macroforma han sido estudiadas por QUINTERO, I (Departamento de Paleontología E.T.S.I.M.).

Se describirán en este apartado únicamente los resultados de las muestras recogidas aisladamente en la presente hoja, ya que las pertenecientes a columnas de detalle quedan raflejadas en su apartado correspondiente, que forma parte de la presente Documentación Complementaria.

Las columnas estratigráficas de detalle, con sus respectivas muestras levantadas en la Hoja de Campillo de Alto buey son las que a continuación se relacionan.

- 1.- MULATON (Muestras DM 3010 a DM 3041)
- 2.- FUENTE CABERA (Muestras LB 2004 a LB 2029)
- 3.- CABEZA MOYA (Muestras DM 3047 a DM 3058 y DM 3093)
- 4.- Km 21,5 Cr de CAMPORROBLES- S. VILLORA (Muestras LB 2080 a LB 2085)
- 5.- EL ARENAL (Muestras DM 3077 a DM 3092, y DM 3095 y DM 3096)
- 6.- TINADA (Muestras LB 2000 a LB 2003)
- 7.- LAS HOYUELAS (Muestras LB 2046 a LB 2048)
- 8.- EL PANIZAR (Muestras LB 2093 a LB 2115)
- 9.- LA VEGA (Muestras LB 2116 a LB 2124, y LB 2136 y LB 2137)
- 10.- RAMBLA DE LA FUENTE (Muestras LB 2125 a LB 2135)

En lo que se refiere a las muestras aisladas los resultados de los estudios Micro y Macropaleontológicos son los siguientes:

MUESTRA

25-27 IT LB 2030

Lámina

Restos de Moluscos

Lituolidos

CENOMANIENSE, por posición estratigráfica.

MUESTRAS

20692

25-27 IT LB 2031

Amontado indeterminable

Muestra de Macropaleontología
Restos inclasificables
CENOMANIENSE MEDIO- SUP, por
posición estratigrafica.

25-27 IT LO 2032

Lámina
Restos de Moluscos
Algas
TURONIENSE- CONIACIENSE, Por
posición estratigrafica.

25-27 IT LB 2033

Lámina
Sin fósiles
TURONIENSE-CONIACIENSE, por posición
estratigrafica.

25-27 IT LB 2034

Levigado
Gasteropodos
Miliolidos
Lamelibranquios
Pseudotextularia
Discorbis
Textularidos
CONIACIENSE-SANTONIENSE, por posi-
ción estratigráfica.

25-27 IT LB 2035

Lámina
Miliolidos
Ostracodos
Textularidos
Cuneolina SP
Alveolinidos
Discorbis
Restos de Equinidos
SANTONIENSE, por posición estrati-
gráfica.

25-27 IT LB 2036

Lámina

20692

Sin fósiles

SANTONIENSE, por posición estratigráfica.

25-27 IT LB 2037

Lámina

Miliolidos

SANTONIENSE, por posición estratigráfica.

25-27 IT LB 2038

Lámina

Sin fósiles

SANTONIENSE, por posición estratigráfica.

25-27 IT LB 2039

Lámina

Sin fósiles

SANTONIENSE, por posición estratigráfica.

25-27 IT LB 2040

Lámina

Sin fósiles

SANTONIENSE, por posición estratigráfica.

25-27 IT LB 2041

Lámina

Restos de Moluscos

TURONIENSE- CONIACIENCE, por posición estratigráfica.

25-27 IT LB 2042

Levigado

Fragmentos de Lamelibranquios

Gasteropodos

Tubos de Gusanos

CENOMANIENSE MEDIO-SUP, por posición estratigráfica.

25-27 IT LB 2043

Lámina

20692

Sin fósiles

TURONIENSE- CONIACIENSE, por posición
estratigráfica.

25-27 IT LB 2044

Lámina

Sin fósiles

CENOMANIENSE MEDIO-SUP, por posición
estratigráfica.

;

25-27 IT LB 2045

Lámina

Sin fósiles

TURONIENSE-CONIACIENSE, por posición
estratigráfica.

25-27 IT LB 2049

Lámina

Sin fósiles

TRIASICO MEDIO, por posición estrati-
gráfica.

25-27 IT LB 2050

Lámina

Sin fósiles

TRIASICO MEDIO por posición estrati-
gráfica.

25-27 IT LB 2052

Lámina

Sin fósiles

TRIASICO MEDIO, por posición estrati-
gráfica.

25-27 IT LB 2053

Lámina

Sin fósiles

TRIASICO MEDIO, por posición estrati-
gráfica.

25-27 IT LB 2054

Lámina

Sin fósiles

TRIASICO MEDIO, por posición estrati-
gráfica.

25-27 IT LB 2055

Lámina

20692

Sin fósiles

TRIASICO MEDIO, por posición estratigráfica.

25-27 IT LB 2056

Levigado

Sin fósiles

TRIASICO MEDIO, por posición estratigráfica.

25-27 LB 2057

Lámina

Ostracados?

Radiolarios?

TRIASICO MEDIO, por posición estratigráfica.

25-27 LB 2058

Lámina

sin fósiles

TRIASICO MEDIO, por posición estratigráfica.

25-27 LB 2059

Lámina

Sin fósiles

TRIASICO MEDIO, por posición estratigráfica.

25-27 LB 2060

Lámina

Sin fósiles

TRIASICO MEDIO, por posición estratigráfica.

25-27 LB 2061

Levigado

Tubos de Gusanos

CAMPANIENSE, por posición estratigráfica.

20692

25-27 LB 2062	Lámina Trozos de Rudistas Ostracodos Textularidos Rotalidos Restos de Equinidos Miliolidos Valvulinidos CAMPANIENSE por estratigrafía
25-27 LB 2063	Levigado Tubos de gusanos Oogonios de Characeas CAMPANIENSE, por posición estratigráfica.
25-27 LB 2064	Lámina Sin fósiles CAMPANIENSE, por posición estratigráfica
25-27 LB 2065	Levigado Tubos de Gusanos CAMPANIENSE, por posición estratigráfica
25-27 IT LB 2066	Lámina Lacazina elongata Ostracodos Rotalidos Cuneolinas Miliolidos Valvulinidos Algas SANTONIENSE, por fósiles
25-27 IT LB 2067	Lámina Lamelibranquios CAMPANIENSE, por posición estratigráfica
25-27 IT LB 2068	Muestra Macropaleontología Corbunamela gregaria, MEEK y HAYO Venus. SP CRETACICO SUPERIOR

25-27 IT LB 2068

Lámina

20692

Sin fósiles

CAMPANIENSE, por posición estratigráfica.

25-27 IT LB 2069

Lámina

sin fósiles

CAMPANIENSE, por posición estratigráfica.

25-27 IT LB 2070

Levigado

Sin fósiles

CAMPANIENSE por posición estratigráfica.

25-27 IT LB 2071

Muestras de Macropaleontología

Corbulamela Gregaria, MEEK y HAYSEN

Venus SP

CRETACICO SUPERIOR

25-27 IT LB 2072

Lámina

Moldes de Lamelibranquios

Moldes de Foraminiferos

CAMPANIENSE, por posición estratigráfica.

25-27 IT LB 2074

Levigado

Tubos de Gusanos

Gasteropodos

CAMPANIENSE, por posición estratigráfica

25-27 IT LB 2076

Muestra de Macropaleontología

Cribospongia clathrata GOLD

Terebratula bicanaliculata DAV

Orthosphinctes tiziani OPPEL

Divisosphinites bifurcatus QUENST

OXFORDIENSE SUPERIOR.

25-27 IT LB 2077

Lámina
Sin fósiles

20692

OXFORDIENSE, por posición estratigráfica

25-27 IT LB 2078

Levigado
Gasteropodos
TRIASICO MEDIO, por posición estratigráfica

25-27 IT LB 2079

Muestra de Macropaleontología
Cornularia, sp
Nucula gragaria. munst
TRIASICO MEDIO.

25-27 IT LB 2086

Levigado
Sin fósiles
TRIASICO SUPERIOR, por posición estratigráfica

25-27 IT LB 2087

Levigado
Sin fósiles
TRIASICO SUPERIOR, por posición estratigráfica

25-27 IT LB 2088

Lámina
Sin fósiles
TRIASICO, por posición estratigráfica

25-27 IT LB 2089

Levigado
Sin fósiles
TRIASICO, por posición estratigráfica

25-27 IT LB 2090

Lámina
Lamelibranquios
Ammodiscidos
Foraminiferos no identificados
TRIASICO MEDIO, por posición estratigráfica.

20692

25-27 IT LB 2090

Muestra de macropaleontología
Pholeus abosaformis FIEGE
Omphaloptycha gregaria MUNST
Nucula, SP
TRIASICO MEDIO

25-27 IT LB 2091

Lámina **20692**
Lamelibranquios
Restos de Equinidos
TRIASICO MEDIO, por posición estratigráfica.

25-27 IT LB 2092

Lámina
Sin fósiles
TRIASICO MEDIO, por posición estratigráfica.

25-27 IT DM 3000

Muestra de Macropaleontología
Rhynchonella Triloboides QUENST
Terebratula zieteni, P de LORIOL
Pecten subarmatus MUNSTER
Subdichotomoceras lamplugki, SPTH
OXFORDIENSE SUP- KIMMERIDGIENSE.

25-27 IT DM 3001

Lámina
Algas recristalizadas
Ostracodos
Globochaete, sp
Restos de Equinidos
Saclocoma, sp
Lamelibranquios
OXFORDIENSE

25-27 IT DM 3002

Levigado
Radiolas de Equinidos
Ostracodos
Tubos de Gusanos
Lituolidos
Gasteropodos
Robulus
Restos de Lamelibranquios
KIMMERIDGIENSE

25-27 IT DM 3003

Muestra de Macropaleontología
Neochetoceras steraspis OPPEL
KIMMERIDIENSE MEDIO

25-27 IT DM 3003

Lámina
Restos de Equínidos
Globochaete, sp
Cornuspira, sp
Ostracodos
KIMMERIDIENSE, por posición estratigráfica. **20692**

25-27 IT DM 3004

Levigado
Radiolas de Equinidos
Ostracodos
Tubos de Gusanos
Robulus
Restos de Lamelibranquios
Arenaceos
KIMMERIDIENSE, por posición estratigráfica

25-27 IT DM 3005

Lámina
Gasteropodos
Lamelibranquios
Restos de Equinidos
Sabaudia minuta
Textularidos
Spiroloculina
APTIENSE

25-27 IT DM 3006

Lámina
Lamelibranquios
Gasterópodos
Restos de Equínidos
APTIENSE, por posición estratigráfica.

25-27 IT DM 3007	Muestra de Macropaleontología Sellithyris sella SOW APTIENSE
25-27 IT DM 3008	Lámina Miliolidos Restos de Moluscos Orbitolina, sp Mesorbitolina Texana Trocholina Lenticularis APTIENSE SUP
25-27 IT DM 3009	Lámina Nummoloculina? Restos de Moluscos CENOMANIENSE MEDIO, por posición estratigráfica
25-27 IT DM 3042	Lámina Algas MIOCENO
25-27 IT DM 3059	Levigado Tubos de Gusanos? MUSCHELKALK, por posición estrati- gráfica.
25-27 IT DM 3060	Lámina Sin fósiles MUSCHELKALK, por posición estra- tigráfica.
25-27 IT DM 3061	Muestra de macropaleontología Turbonilla dubia MUNSTER MUSCHELKALK por posición estratigráfica
25-27 IT DM 3062	Lámina Sin fósiles SANTONIENSE , por posición es- tratigráfica.

25-27 IT DM 3063

Lámina

Restos de Moluscos

CAMPANIENSE, por posición estratigráfica.

25-27 IT DM 3064

Levigado

20692

Ostracodos

Tubos de Gusano

Rotálidos

CAMPANIENSE, por posición estratigráfica.

25-27 IT DM 3065

Lámina

Ostracodos

Textuláridos

Miliólidos

Rotaliformes

CAMPANIENSE, por posición estratigráfica.

25-27 IT DM 3066

Lámina

Textuláridos

Miliólidos

Ostracodos

Cuneolina pavonia

Valvulammina

Rotaliformes

Pseudolituonella sp

SANTONIENSE por posición estratigráfica.

25-27 IT DM 3067

Lámina

Restos de Moluscos

CAMPANIENSE, por posición estratigráfica.

25-27 IT DM 3067

Muestra de Macropaleontología

Bournonia, sp

TOURONIENSE-MAASTRICHTIENSE, por posición estratigráfica.

25-27 IT DM 3068

Lámina

Sin fósiles

CAMPANIENSE, por posición estratigráfica.

25-27 IT DM 3069

Lámina

20692

Sin fósiles

CAMPANIENSE, por posición estratigráfica.

25-27 IT DM 3070

Lámina

Coprolitos

Nummofallotia Cretácica

Textuláridos

Miliólidos

Restos de Moluscos

Algas

Valvulínidos

Vidalina, sp

Gasterópodos

CAMPANIENSE, por posición estratigráfica

25-27 IT DM 3071

Levigado

Tubos de Gusanos

Gasteropódos

Restos de Equinídos

Ostrácodos

Rotálidos

CAMPANIENSE, por posición estratigráfica.

25-27 IT DM 3072

Lámina

Miliólidos?

Algas?

CAMPANIENSE, por posición estratigráfica.

25-27 IT DM 3073

Lámina

Gasterópodos

Lamelibranquios

CAMPANIENSE, por posición estratigráfica.

25-27 IT DM 3074

Lámina

20692

Restos de Equínidos

Restos de Moluscos

CAMPANIENSE, por posición estratigráfica.

25-27 IT DM 3075

Lámina

Miliólidos

SANTONIENSE, por posición estratigráfica.

25-27 IT DM 3076

Lámina

Restos de Moluscos

Restos de Foraminíferos

SANTONIENSE, por posición estratigráfica.

25-27 IT DM 3094

Lámina

Concreciones de Algas

MIOCENO SUP.

Los resultados obtenidos de los estudios sedimentológicos realizados en la presente hoja, corresponden a los entregados periodicamente al I.G.M.E. en sus respectivas fichas de rocas carbonatadas y terrigenas.

En las columnas de detalle que se adjuntan, se encuentran representados gráficamente, los resultados de las muestras recogidas cada una de ellas. Por tanto, en el presente informe solo se incluirán los datos aportados del estudio de las distintas muestras aisladas.

<u>MUESTRA</u>	<u>DESCRIPCION</u>
25-27 IT LB 2030	Dolomía (calcarenita totalmente dolomitizada). Trazas de: cuarzo, intraclastos oolitos y fósiles.
25-27 IT LB 2032	Dolomía Trazas de intraclastos y oolitos
25-27 IT LB 2033	Dolomía
25-27 IT LB 2035	Biomicrita ligeramente dolomitizada. Fósiles 15%, Micrita 85%.
25-27 IT LB 2036	Calcarenita intraclastica totalmente recristalizada. Intraclastos 30%.
25-27 IT LB 2037	Calcarenita intraclastica recristalizada y algo dolomitizada. Intraclastos 30%, Micrita 65%, Arcilla 5%.

25-27 IT LB 2038	Intramicrita recristalizada Intraclastos 25%, Micrita 75%
25-27 IT LB 2039	Intramicrita recristalizada Intraclastos 30%, Micrita 70%
25-27 IT LB 2040	Caliza recristalizada
25-27 IT LB 2041	Dolomía
25-27 IT LB 2043	Caliza recristalizada
25-27 IT LB 2044	Dolomía
25-27 IT LB 2045	Caliza recristalizada Trazas de intraclastos
25-27 IT LB 2049	Caliza recristalizada Trazas de intraclastos
25-27 IT LB 2050	Caliza recristalizada Trazas de intraclastos
25-27 IT LB 2052	Caliza recristalizada Arcilla 5%, Trazas de intraclastos
25-27 IT LB 2053	Dolomía Trazas de cuarzo e intraclastos
25-27 IT LB 2054	Dolomía Arcilla 5%. Trazas de cuarzo, Dolomía 95%.
25-27 IT LB 2055	Caliza recristalizada
25-27 IT LB 2057	Dolomía Trazas de fósiles
25-27 IT LB 2058	Dolomía arcillosa Arcilla 10%, dolomía 90%.

20692

25-27 IT LB 2059

Dolomía

20692

25-27 IT LB 2060

Caliza recristalizada
Intraclastos 40%

25-27 IT LB 2062

Biomicrita
Fósiles 30%, Micrita 70%

25-27 IT LB 2073

Dolomía

25-27 IT LB 2075

Esparita micritica parcialmente
recristalizada
Micrita 20%, Esparita 80%.

25-27 IT LB 2077

Micrita en proceso de dolimitiza-
ción.
Micrita 99%, Sulfuros 1%. Trazas
de cuarzo.

25-27 IT LB 2090

Biomicrita
Fósiles 40%, Micrita 60%

25-27 IT LBA 2091

Biomicrita
Intraclastos 5%, Fósiles 20%
Micrita 75%

25-27 IT DM 3001

Biomicrita algo recristalizada
Fósiles 15%, Micritas 85%, Trazas
de cuarzo.

25-27 IT DM 3003

Micrita arcillosa algo regrista-
lizada.
Cuarzo 7%, Fósiles 3%, Micrita 75%
Arcilla 15%.

25-27 IT DM 3005

Biointramicrita
Intraclastos 10%, Fósiles 40%,
Micrita 50%, Trazas de cuarzo.

25-27 IT DM 3006 Biomicrita arenosa recristalizada
Cuarzo 30%, Fósiles 20%, Micrita
50%.

20692

25-27 IT DM 3008 Intrabiosparita recristalizada
Intraclastos 30%, Fósiles 20%
Esparita 50%, Trazas de cuarzo

25-27 IT DM 3009 Dolomía
Trazas de intraclastos y fósiles

25-27 IT DM 3042 Micrita con algo de esparita y
cuarzo.
Cuarzo 7%, Fósiles 5%, Micrita 68%
Esparita 20%.

25-27 IT DM 3043 Arenisca
Cuarzo 36%, Feldespato 2%
Fragmentos calizas 40%, Cemento cal-
cáreo 22%.

25-27 IT DM 3044 Micrita
Cuarzo 2%, Micrita 98%

25-27 IT DM 3045 Arenisca
Cuarzo 55%, Feldespato K. 2%
Fragmentos calizas 23%, Fragmentos
areniscas 2%. Cemento calcáreo 18%

25-27 IT DM 3046 Micrita esparitica
Cuarzo 2%. Fósiles 3%, Micrita 75%
Esparita 20%

25-27 IT DM 3060 Dolomía
Trazas de intraclastos

25-27 IT DM 3062 Intrasparomicrita algo recristalizada
Intraclastos 35%, Micrita 15%
Esparita 50%.

25-27 IT DM 3063

Esparomicrita arcillosa con ligera dolomitización
Micrita 20%, Esparrita 70%, Arcilla 10%. Trazas de intraclastos y fósiles.

20692

25-27 IT DM 3065

Intrabimicrita
Intraclastos 55%, Fósiles 15%, Micrita 30%.

25-27 IT DM 3066

Biointramicrita
Intraclastos 15%, Fósiles 25%, Micrita 60%.

25-27 IT DM 3067

Biomicrita ligeramente arcillosa recristalizada.
Fósiles 15%, Micrita 80%, Arcillas 5%. Trazas de intraclastos

25-27 IT DM 3068

Dolomía arcillosa
Dolomía 90%, Arcillas 10%.

25-27 IT DM 3069

Micrita arcillosa recristalizada
Micrita 90%, Arcillas 10%, Trazas de intraclastos.

25-27 IT DM 3070

Intrabiosparomicrita
Intraclastos 40%, Fósiles 20%, Micrita 5%, Esparrita 35%.

25-27 IT DM 3072

Dolomía arcillosa
Arcillas 30%, Dolomía 70%, Trazas de intraclastos.

25-27 IT DM 3073

Intrapelosparomicrita recristalizada
Intraclastos 15%, Pelets 30%.
Micrita 20%, Esparrita 35%, Trazas de fósiles.

25-27 IT DM 3074	Dolomía arcillosa Arcillas 30%, Dolomía 70%
25-27 IT DM 3075	Biomicrita redolomitizada Fósiles 30%, Micrita 70%, Trazas de intraclastos.
25-27 IT DM 3076	20692 Intrasparomicrita Intraclastos 35%, Micrita 20% Esparita 40%, Trazas de fósiles.
25-27 IT DM 3094	Biomicrita con esparita Fósiles 65%, Micrita 20%, Esparita 15%.
25-27 IT DM 3097	Calcarenita introbioclastica Intraclastos 30%, Fósiles 20% Micrita 15%, Esparita 35%.
25-27 IT DM 3098	Biomicrita con romboedros de dedolomitización. Intraclastos 15%, Fósiles 15%. Micrita 70%.
25-27 IT DM 3099	Biomicrita intraclástica Intraclastos 25%, Fósiles 10% Micrita 65%.
25-27 IT DM 3100	Biomicrita intraclástica Intraclastos 30%, Fósiles 10% Micrita 60%.

4.- INFORME PALEOGEOGRAFICO (HISTORIA SEDIMENTARIA)

La Historia Sedimentaria, obtenida a partir de los resultados micropaleontológicos y sedimentológicos, expuestos en los apartados anteriores, se tratará a escala regional y será común para las distintas hojas que constituyen los bloques 17-10 y 23-3.

Los materiales más antiguos que afloran pertenecen al Triásico Medio y Superior. No obstante, el Triásico Inferior (Bundsandstein), ha sido reconocido, en las zonas limítrofes (hojas de Utiel, 26-27; Enguídanos, 25-26; etc), y en un sondeo realizado en las proximidades de la localidad de Carcelén (CASTILLO HERRADOR, 1974). Se puede asegurar, por tanto, que el Triásico se ha depositado completo en toda la región.

Ciñéndose a la zona enmarcada en estos bloques y por encima de los depósitos continentales en Facies Bundsandstein se disponen unos sedimentos carbonatados en Facies - Muschelkalk, que corresponden a materiales depositados en aguas someras.

A escala regional, dentro y fuera del contexto de los bloques, aparecen sedimentos arcillosos y yesíferos que caracterizan una cuenca continental de marcado carácter evaporítico. Estas condiciones se hacen acusadas durante el Triásico Superior siendo más generalizada la sedimentación de depósitos yesíferos y salinos. Con la intercalación de depósitos arenosos, la cuenca adquiere un mayor índice de energía como consecuencia de los aportes terrígenos de origen fluvial que interrumpen la deposición química. Sin embargo, y debido a las características del medio de sedimentación, estos aportes no son constantes dando lugar a frecuentes cambios laterales. El conjunto de estos materiales caracterizan las Facies Keuper dentro del contexto de las hojas.

Por encima de estos materiales, todavía durante el - -

Triásico Superior, se deposita un tramo constituido por calizas dolomíticas tableadas y carniolas que corresponden a sedimentos de medio marino poco profundo y salobre. Este hecho ha sido comprobado en el sondeo, mencionado anteriormente - CASTILLO HERRADOR (op.cit)-que cita en la zona de Carcelén unas dolomías con intercalaciones de anhidrita y calizas con anhidrita. Esta formación expuesta a los agentes erosivos externos pierde los niveles de anhidrita por disolución y el conjunto adquiere un aspecto masivo. Dicha unidad corresponde a lo que en bibliografía se denomina como Infra-Liás ó Supra Keuper.

Los afloramientos correspondientes al Jurásico se reparten de forma discontinua dentro del conjunto de las hojas estudiadas, encontrándose únicamente depósitos correspondientes al Jurásico Medio-Superior. Así pues, no es posible reconocer la totalidad de la serie jurásica dentro de la zona enmarcada en los presentes bloques (17-10 y 23-3).

Durante el Pleisbachiense se produce una serie de pulsaciones en la cuenca que dan lugar a interrupciones en la sedimentación y por consiguiente a la formación de pequeños hiato (ASSENS et al, 1973, IGME). Es importante destacar que ha partir de este momento las características paleogeográficas denuncian la instalación de un mar que adquiere paulatinamente una mayor profundidad hasta el Jurásico Medio (Dogger).

En la zona de estudio los depósitos más antiguos dentro del sistema Jurásico pertenecen al Dogger (Hoja 25-27, Campillo de Altobuey). Sus facies son características de mares neríticos disminuyendo la profundidad, en la parte superior de la formación y llegándose a encontrar oolitos ferruginosos e intraclastos que denuncian un aumento en la energía del medio. La aparición de un nivel lumaquélico, culminado por un suelo ferruginoso (Hard Ground), corrobora la existencia de una disminución de la profundidad de la cuenca, durante el Calloviense. Esta característica es continua en la mayor parte de la Cordillera Ibérica y marca el hiato existente entre el Calloviense Superior y el Oxfordiense Medio.

Durante el Oxfordiense (Campillo de Altobuey) se implant a una cuenca marina somera en la que se desarrollan - condiciones favorables para la vida, como indican la existencia de abundante macrofauna. (Anmonites, Espangiarios - Braquiópodos, etc). Es decir un ambiente que da lugar a sedimentos de plataforma. Estos depósitos se continúan sin grandes variaciones durante el Oxfordiense Superior, - mientras que a partir del Kimmeridgiense Inferior la sedimentación presenta la particularidad de disponerse en - secuencias rítmicas.

La presencia casi constante de micritas así, como la de pirita y restos carbonosos durante este último período, indican un bajo índice de energía así como un ambiente reductor dentro de la cuenca.

A partir del Kimmeridgiense Medio la cuenca adquiere un carácter regresivo, depositando calizas oolíticas y/o pisolíticas, representadas en la hoja de Jalance, Casas - Ibañez y Ayora. Culminan con un nivel rico en óxidos de, hierro que nos indica una disminución de la profundidad.

Hacia el NO, en las hojas de Campillo de Altobuey y limítrofes, los depósitos del Cretácico Inferior en Facies "Weald" descansan indistintamente sobre la ritmita del -- Kimmeridgiense Inferior o sobre el Oxfordiense Superior, lo cual induce a pensar en una interrupción en la sedimentación, o más probablemente en una etapa erosiva, aunque es posible que haya existido una combinación de los dos procesos.

En resumen durante el Jurásico terminal y Cretácico Inferior, debido a las principales fases Neociméricas, la zona se presenta emergida dando lugar a los procesos anteriormente mencionados y cuya intensidad es variable en distintas zonas de la Cordillera Ibérica.

El Cretácico se inicia con la deposición de sedimentos continentales generalmente arcillo-arenosos en Facies "Weald" que en ocasiones, y con mayor frecuencia en la zona suroriental, (hojas de Jalance y Casas Ibañez) intercalan abundantes depósitos en facies netamente marinas datadas como Barremiense.

20692

A partir del Aptiense comienza un período transgresivo que da lugar a secuencias litológicas en facies costeras, generalmente arenosas y que intercalan niveles lumaquélidos. - Paulatinamente la cuenca adquiere mayor profundidad hasta alcanzar un ambiente nerítico, como lo demuestra la presencia - de niveles de Orbitolinas y colonias de Rudistas.

Al finalizar el Aptiense se producen nuevos movimientos orogénicos que persisten durante el Albien Inferior (AGUILAR, RAMIREZ DEL POZO et al, 1971), originándose una serie - de cubetas que afectan a todo el dominio de las Cadenas Ibéricas (Fase Aústrica). Debido a ello se instalan durante el Albien Inferior unas condiciones netamente continentales - que dan lugar a sedimentos en Facies "Utrillas", que debieron depositarse sobre una superficie irregular. Se trata de depósitos de tipo fluvial, con grandes variaciones de potencia observables a escala regional. Hacia las zonas suroccidentales de los bloques (17-10 y 23-3), y dentro de la hoja de Jalance, desaparecen estas facies, realizándose el paso Aptiense Superior-Albien dentro de un medio netamente marino (nerítico). Estas condiciones se continúan durante todo el Albien, si bien en ocasiones se intercalan niveles detríticos que marcan todavía una influencia continental.

En el Albien Superior se generaliza, dentro de la zona de estudio, un régimen de sedimentación marina que se continúa durante el Cenomanien Inferior, pudiéndose observar este hecho en la totalidad de las hojas. Así, por encima de - los depósitos detríticos en Facies "Utrillas", en las hojas - de Campillo de Altobuey y Casas Ibañez, y de la alternancia de niveles calcáreos y detríticos en las hojas de Jalance y Ayora, se dispone una serie de sedimentos carbonatados, depositados en ambientes neríticos y costeros, como lo prueba la presencia de Orbitolinas y bancos lumaquélidos de Ostrídeos. La presencia de depósitos detríticos intercalados en esta serie, indica una influencia continental existente durante el Albien y reflejada en el Cenomanien Inferior.

Desde el Cenomanien Medio y Superior hasta el Coniacien la cuenca no experimenta cambios notables, perteneciendo la casi totalidad de sus depósitos a facies costeras de naturaleza dolomítica. No obstante durante el Turoniense se --

observan condiciones de mar abierto como indica la aparición de fauna planctónica (Globotruncanas).

A partir del Santoniense, y durante el Campaniense-Maastrichiense, se produce una lenta y progresiva retirada del mar cretácico, a la vez de que se ponen de manifiesto una serie de pulsaciones debidas a la influencia de las primeras fases Alpinas. Estos fenómenos hacen que la cuenca adquiera una configuración irregular produciéndose zonas de carácter lagunar y umbrales, concretamente a partir del Santoniense Superior y durante el Campaniense-Maastrichiense. Estas características se reflejan en la variedad de depósitos encontrados, así como sus cambios de espesor.

Es de destacar la existencia de brechas intraformacionales originadas por la denudación de los umbrales y el aislamiento de zonas donde se producen sedimentos de tipo evaporítico (Campillo de Altobuey), así como también la existencia de áreas transicionales marino-lagunares donde es frecuente encontrar depósitos calcáreos con la presencia de asociaciones faunísticas mixtas (Foraminíferos - Charáceas), generalmente por encima de los niveles superiores con Lacazina.

A escala regional, y sobre las facies lagunares del Cretácico terminal, se dispone una serie de sedimentos detriticos y evaporíticos que denuncian la culminación del proceso regresivo iniciado durante el Santoniense. Esta sedimentación se continúa durante todo el Paleoceno y posiblemente el Eoceno, en base a los resultados obtenidos en zonas limítrofes al conjunto de los bloques (17-10 y 23-3) (BARTRINA Y GEA, 1954; IGME 1973; VILLENA et al. 1973; VIALLARD, 1976, etc).

A finales del Paleógeno se inicia en la zona una serie de empujes y deformaciones, correspondientes a la Orogenia Alpina, que dan lugar a las actuales directrices ibéricas. Posteriormente una etapa de distensión origina la formación de cubetas y fosas tectónicas que se rellenan por depósitos continentales neógenos, fundamentalmente conglomeráticos.

20692

Dentro del ámbito de la presente zona, estas unidades estructurales son más frecuentes en las zonas surorientales (hojas de Jalance 27-29, Carcelén 26-30, Casas Ibañez, - 26-29 y Ayora 27-30), mientras que en la zona noroccidental (hojas de Campillo de Altobuey, 25-27 e Iniesta 25-28), estos depósitos fosilizan el paleorelieve mesozoico.

Durante el Mioceno Superior y Plioceno estas cuencas - se rellenan por materiales en facies continentales en los - que son frecuentes abundantes depósitos fluviales con la con siguiente aparición de paleocanales intercalados dentro de la serie. No obstante durante el Mioceno Superior (Tortoniense) se producen identaciones marinas muy sómeras, lo- calizadas principalmente en la hoja de Jalance (27-29) y que corresponden a brazos marinos (Rias) donde se ha reco- nocido fauna de escaso crecimiento. Estas identaciones es- tán claramente relacionadas con la tectónica anteriormente citada.

Durante el Plioceno y Pleistoceno se detectan en esta zona una serie de movimientos de gravedad, así como un vulca- nismo profundo (hoja de Jalance, 27-29), que contribuyen al establecimiento de la morfología actual culminada por una - fase erosiva, que da lugar a la formación de glacis, así co- mo al encajamiento de la red fluvial con la consiguiente - formación de terrazas.